

苏里格气区水平井生产初期 合理配产降本增效方法优化研究

王晋 赵鑫 郝国语 马麟

(中国石油长庆油田分公司第四采气厂, 内蒙古 鄂尔多斯 017300)

摘要: 目前水平井是油气田主要的开发方式和主力生产井, 生产初期的配产不合理会导致水平井压降快、产量递减快、见水早等问题, 致使难以保证水平井取得最佳的生产效果; 水平井生产初期的合理配产和生产方式(无阻或节流器)确定, 在地质上主要依据试气排液曲线、简易法估算无阻流量。工艺上在计算节流气嘴直径时需要地质上提供配产、生产压力两个参数。地质与工艺的是否紧密集合, 关系着节流器生产井的配产符合率。提升气井配产符合率、实现降本增效和降低安全风险目标。

关键词: 水平井生产初期; 合理配产; 配产符合率; 降本增效

0 引言

苏里格气田采用大规模水平井开发模式, 目前区域内水平井约占总井数10%, 气井贡献率却高达38%, 因此对水平气井产能、生产系统分析及配产研究具有非常重要的意义。第四采气厂位于苏里格气田中东部地区, 其自营区块目前共投产水平气井273口, 井均累产3818万方, 生产时间满3年气井目前井均累产4341万方, 预测最终累产7490万方。

对2019—2022年投产的68口水平气井分4类进行研究, 其投产后实际产量普遍低于设计配产(平均低0.6), 其中偏差较大井主要有两类:

一是配产 ≤ 3.5 万方/d的低配产井, 其符合率67.8%; 二是水气比 ≥ 0.6 方/万方的产水井, 其符合率76.5%。

1 水平井生产初期特征

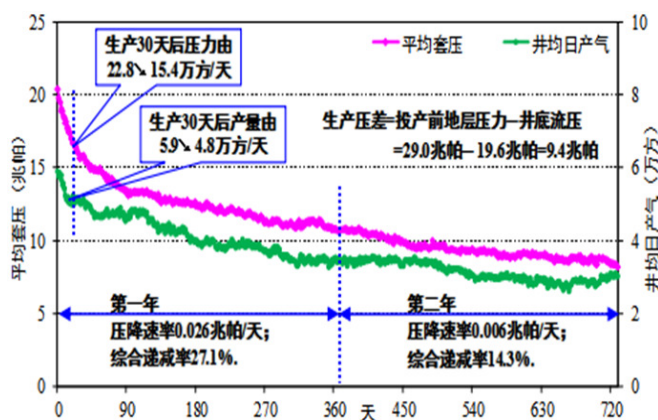


图1 68口水平井生产初期压力、产量曲线

水平井生产初期受井筒、近井带压裂裂缝储集效应影响, 存在压力、产量递减快特征。生产30天后储层进入拟稳态流, 气井压降速率、产量递减趋于稳定, 进入了稳定生产阶段。根据投产前压力、生产曲线, 计算气井进入稳定阶段后平均生产压差为9.4MPa。

通过对68口井试采数据的分析, 水平井产水情况差异大, 平均水气比0.83方/万方, 产出水平均总矿化度20949mg/l, 为CaCl₂型。

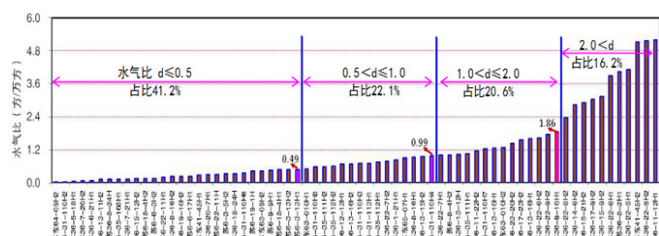


图2 68口水平井生产水气对比柱状图

根据李闽建立的气井临界携液流量公式及矿场经验, 建立了目前常用的3种生产油管井(23/8"、3½"、4½")临界携液流量图版, 对应气井投产初期的临界携液产量分别是1.9、4.2、7.5万方/d。随着气井投产后生产压力下降, 其临界携液产量逐渐降低。

根据压裂气井裂缝支撑剂回流临界流量理论计算公式, 将支撑剂、压裂裂缝等参数代入公式计算, 得到气井不同生产阶段(不产地层水)的临界出砂产量。计算结果与气井现场实际出砂情况吻合, 符合气井生产实际。随着气井生产压力下降, 其临界出砂产量下降。

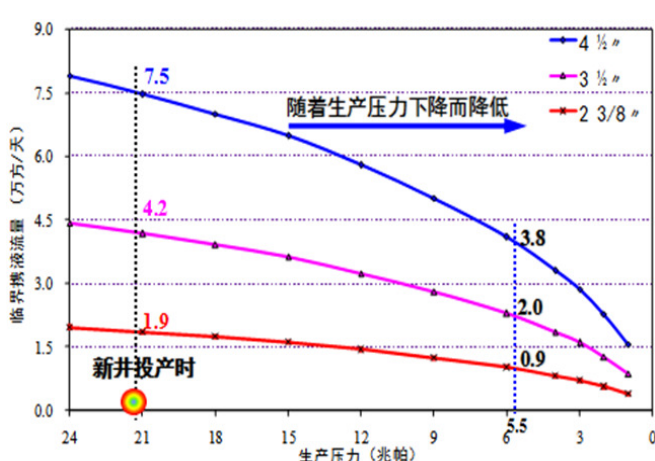


图 3 不同尺寸油管生产压力与临界携液流量关系对比图
气井裂隙支撑剂回流临界产量计算公式：

$$q_{sc} = \frac{1.1516 \times 10^5 k w_f h \sqrt{\frac{p_c r_d g}{p_g}}}{B_g} \quad (\text{公式 1})$$

式中： ρ_g —天然气密度， kg/m^3 ； ρ_c —支撑剂密度， kg/m^3 ； Q_{sc} —支撑剂回流临界流量， $10^4 \text{ m}^3/\text{d}$ ； W —裂缝宽度， m ； r_d —砂粒半径， m ； h —裂缝高度， m ； k —支撑剂面孔率，%； B_g —天然气体积系数，无因次。

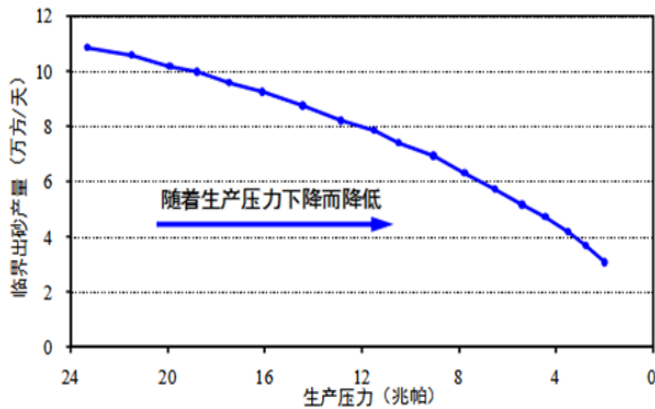


图 4 水平井临界出砂产量与生产压力关系对比图
水平井生产初期配产还涉及与井下节流工艺的匹配性。

根据节流器临界流态流公式 ($P_2/P_1 \geq 0.55$ 、公式 2) 及井口与气嘴入口压力关系式 (公式 3) 可知：在确定气井配产 q_{max} 、投放深度 H 后，气嘴直径 d 只与生产压力 p_c 值相关、与产水量无关。

配产时 p_c 值取井口关井压力 (没有考虑生产压差)，产水量影响节流气嘴的有效过气面积，上述两个因素造成了气井实际产量低于设计配产。

$$q_{max} = \frac{4.066 \times 10^3 p_1 d^2}{\sqrt{Y_g T_1 Z_1}} \sqrt{\frac{K \left(\left(\frac{2}{k+1}\right)^{\frac{2}{k-1}} - \left(\frac{2}{k+1}\right)^{\frac{k+1}{k-1}} \right) y}{k-1}} \quad (\text{公式 2})$$

$$p_1 = p_c + \frac{(0.0083 P_c + 0.0006) \cdot H}{2a100} \quad (\text{公式 3})$$

公式 2、公式 3 中： P_1 、 P_c 为节流器人口压力、生产压力，MPa； Y_g 为天然气相对密度，取 0.598； T_1 为投放深度对应人口天然气温度，K； Z_1 为 T_1 温度对应天然气偏差系数； K 为常数，取 1.3； H 为节流器下深，m；气井配产， $10^4 \text{ m}^3/\text{d}$ 。

2 水平井生产初期合理配产方法优化

①水平井投产初期合理配产以延长稳产期、保护储层、防止积液为原则。其配产符合率 (F) 指生产时实际产量 (Q_s) 与合理配产 (Q_l) 的偏差，具体计算公式如下：

$$F = \frac{|Q_s - Q_l|}{Q_l} \times 100\% \quad (\text{公式 4})$$

式中： Q_s 、 Q_l 单位为万方/d，当 $Q_s \geq 2Q_l$ 时， $F=0$ ，公式适用于投放节流器井的计算；对于采用无阻投产井，其配产符合率为 100%；

②考虑临界携液、临界出砂产量，制定了水平井的合理配产区间：最大配产<临界出砂产量、最小配产>临界携液产量 (视气井油管尺寸定)；

③结合矿场经验确定无阻流量 ≤ 6.0 万方/d 井采用无阻方式 (不投节流器) 生产；无阻流量 > 6.0 万方/d 井采用投放节流器方式生产。

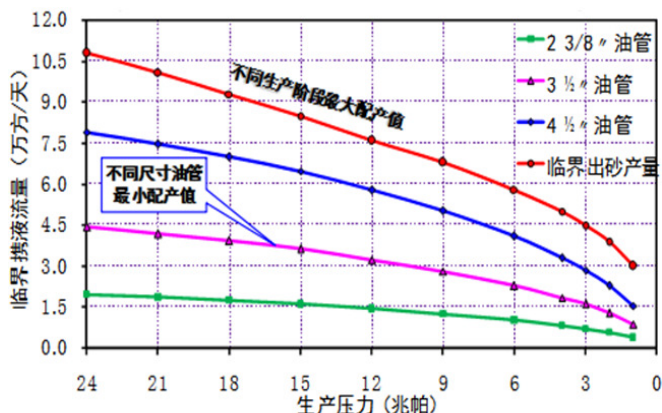


图 5 水平井不同生产阶段合理配产区间图

3 建立节流器井合理配产及压力优化方法

结合生产初期生产压差、气嘴直径计算公式 (公式 2)，建立了节流器井 (无阻流量 > 6.0 万方/d) 的配产 q_{max} 、压力 p_c 参数优化方法 (见下表)，该

方法使带入公式2计算气嘴直径的 q_{max} 、 p_c 值更符合生产实际。优化前 q_{max} 未考虑临界携液产量； p_c 值按关井最高恢复压力取值。

表1 节流器井合理配产、压力优化方法分类表

分类	I	II	III	平均值
平均配产 ($10^4\text{m}^3/\text{d}$)	6.0	5.0	4.0	5.1
平均生产压差 (MPa)	6.5	9.7	13.6	9.8
优化后配产压力 (MPa)	17.9	14.1	11.2	16.2
优化前配产压力 (MPa)	p_c 值按关井最高恢复压力取值			

以前期准确测试过水气比井为样本，对11口配产符合率大于90%井的水气比与节流器气嘴直径放大比例进行拟合分析，得到经验公式（公式5）。

$$d_x = d + d \cdot (0.084B + 0.012) \quad (\text{公式5})$$

式中： d_x 为修正后气嘴直径，mm； d 为节流器气嘴直径，mm； B 为气井生产水气比， $\text{m}^3/10^4\text{m}^3$ 。

应用时通过分析试气排液或试采等资料获得生产水气比（小于0.5方/万方时不进行修正），应用公式5对气嘴直径（公式2算出值）进行修正。

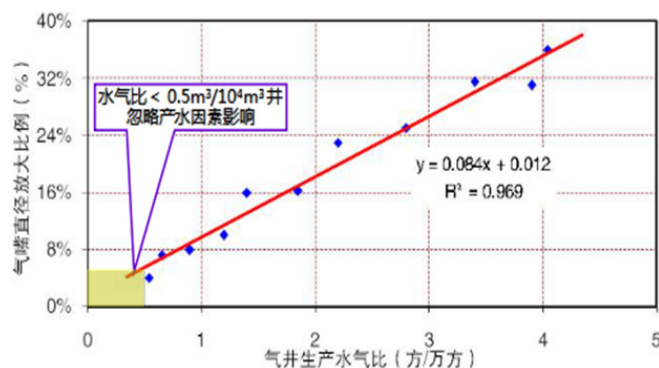


图6 水气比与节流器气嘴直径放大比例关系图

4 结论

①水平井生产初期受井筒、近井带压裂裂缝储集效应影响，存在压力、产量递减快特征，生产30天后储层进入拟稳态流，压降速率、产量递减趋于稳定，气井建立了稳定的生产压差，平均为9.8MPa；

②根据水平井生产初期生产压差、节流气嘴直径计算公式，建立了节流器井（无阻流量 > 6.0 万方/d）的配产、压力参数优化方法，使带入公式计算气嘴直径时的配产、压力值更符合气井生产实际；

③考虑生产压差、产水因素的水平井生产初期配产方法，实现气井地质与井下节流工艺的紧密结合，提升了气井配产符合率，降低了气井管理难度和成本。

参考文献：

- [1] 胡文瑞, 魏漪, 鲍敬伟. 中国低渗透油气藏开发理论与技术进展 [J]. 石油勘探与开发, 2018(04).
- [2] 庞长英, 连军利, 胡定堂, 张卫东, 唐永飞. 水平井直井联合开采低渗透油藏合理井网研究 [J]. 石油天然气学报, 2008(01).
- [3] 赵金洲, 陈曦宇, 刘长宇, 李勇明, 李晖, 曹学军. 水平井分段多簇压裂缝间干扰影响分析 [J]. 天然气地球科学, 2015(03).
- [4] 李鹏, 范倩倩, 霍明会, 郑腊年, 岳君. 苏里格气田气井配产与递减率关系研究及应用 [J]. 西南石油大学学报(自然科学版), 2020(01).
- [5] 卞春国, 胡子见, 王惠, 韩勇. 井下节流技术在苏里格气田的应用 [J]. 天然气勘探与开发, 2010(04).
- [6] 张波, 薛媛, 王晓荣, 王惠. 苏里格气田水平井生产工艺优化研究 [J]. 石油化工应用, 2013(04).
- [7] 金大权, 杨志伦, 张春雨, 陈启文, 张春. 致密砂岩气藏水平井生产技术对策 [J]. 天然气勘探与开发, 2016(04).
- [8] 贺培, 熊继有, 陆朝晖, 秦大伟, 潘林华. 基于高压脉动水力压裂的脉动波传播机理研究 [J]. 水动力学研究与进展(A辑), 2017(01).
- [9] 郭印同, 杨春和, 贾长贵, 徐敬宾, 王磊, 李丹. 页岩水力压裂物理模拟与裂缝表征方法研究 [J]. 岩石力学与工程学报, 2014(01).
- [10] 赵海军, 马凤山, 刘港, 郭捷, 冯雪磊. 不同尺度岩体结构面对页岩气储层水力压裂裂缝扩展的影响 [J]. 工程地学报, 2016(05).
- [11] 邹才能, 董大忠, 王社教, 李建忠, 李新景, 王玉满, 李登华, 程克明. 中国页岩气形成机理、地质特征及资源潜力 [J]. 石油勘探与开发, 2010(06).
- [12] 邹才能, 朱如凯, 吴松涛, 杨智, 陶士振, 袁选俊, 侯连华, 杨华, 徐春春, 李登华, 白斌, 王岚. 常规与非常规油气聚集类型、特征、机理及展望--以中国致密油和致密气为例 [J]. 石油学报, 2012(02).
- [13] 赵艳, 吴胜和, 徐樟有, 温立峰. 川西新场气田上三叠统须家河组二段致密砂岩优质储层控制因素 [J]. 中国石油大学学报(自然科学版), 2010(04).